

# Геодинамическое развитие Ингульского мегаблока Украинского щита по геолого-геофизическим и тектонофизическим данным. I

© О. Б. Гинтов, С. В. Мычак, 2011

Институт геофизики НАН Украины, Киев, Украина

Поступила 17 ноября 2010 г.

Представлено членом редколлегии В. И. Старostenko

Наведено дані, що ґрунтуються на матеріалах 25-літнього тектонофізичного вивчення центральної частини Українського щита. Завдання статті — показати, що геодинамічний розвиток щита вже щонайменше з пізнього архею підпорядковувався механізмам плитової тектоніки. Основні аргументи — вирішальна роль у формуванні структури докембрійського фундаменту великих субгоризонтальних зсувів уздовж широких зон розломів (shear zone), закладених у ранньому докембрії; проходження деформаційних процесів з утворенням більшості розривних і складчастих структур в умовах субгоризонтального положення площини головних осей нормальних напружень  $\sigma_1$ ,  $\sigma_3$ ; виявлення у літосфері щита зон лістричного типу та великих похиліх насувів; кардинальна відмінність у геодинамічному розвитку архейських західної і східної частин щита за відсутності зони з переходним деформаційним режимом. В першій частині статті розглянуто загальне положення Інгульського мегаблока в структурі Українського щита і обґрунтовано його межі. Наведено схему геологічної будови і структурно-тектонофізичну карту мегаблока. Обговорено поняття "зона розломів" і "зона склювання", а також "етап" і "фаза" деформації (розломоутворення). Описано 13 етапів деформації в межах мегаблока, що охопили відтинок часу від неоархею до неопротерозою і вирішально вплинули на формування його внутрішньої структури.

The article presents the data based on the materials of the 25-year tectonophysical study of the central part of the Ukrainian Shield. The purpose of the article is to show that the geodynamic evolution of the Shield since at least the late Archean was subordinate to the mechanisms of plate tectonics. The main arguments are: a decisive role in shaping the structure of the Precambrian basement of large sub-horizontal shifts along the wide shear zones, with initial stage in the Early Precambrian; the passing of the deformation processes in the formation of most fracture and folded structures in the subhorizontal position of the plane of the principal axes of the normal stresses  $\sigma_1$ ,  $\sigma_3$ ; the establishment of zones of listric type and large gently dipping thrusts in the lithosphere of the shield; radical difference in the geodynamic evolution of the Archean western and eastern parts of the shield in case of the absence of the zone with the transitional deformation regime. In the first part of this article the general situation of the Ingul megablock in the structure of the Ukrainian Shield has been discussed and its borders were grounded. A scheme of the geological structure and structural tectonophysical map of the megablock have been given here. The concepts of the "fault zones" and "zones of cleavage" as well as the "stage" and the "phase" of deformation (faulting) have been discussed. 13 stages of deformation within the megablock covering the time from the Neo-Archean to Neo Proterozoic and having a decisive influence on the formation of its inner structure were described.

**Общее положение мегаблока в структуре Украинского щита.** Литосфера Украинского щита (УЩ) представлена мозаикой мегаблоков, в разное время имевших разную конфигурацию и, возможно, в раннем архее

принадлежавших даже к разным микроконтинентам.

Современная мегаблочная структура УЩ (рис. 1) сложилась на границе палео- и мезопротерозоя [Гинтов, 2005; Starostenko et al.,

2010], когда щит уже выступал единой структурой как часть юго-западного сегмента Восточно-Европейского кратона (Сарматии) и по межмегаблоковым глубинным зонам разломов произошли существенные вертикальные подвижки. Если бы этот процесс проходил позже, в неопротерозое или фанерозое, следы вертикальных движений были бы заметны геоморфологически (чего не наблюдается), а раньше, в неоархее и раннем протерозое, по межмегаблоковым зонам разломов наблюдались преимущественно субгоризонтальные сдвиговые перемещения без существенной вертикальной составляющей.

Ингульский мегаблок в современной структуре УЩ занимает центральное положение, ограничиваясь на западе Тальновской, а на востоке Криворожско-Кременчугской зонами разломов. Некоторые исследователи рассматривают этот мегаблок в других контурах, ограничивая его на западе Первомайской зоной разломов и относя Голованевскую шовную зону к Бугскому (или Днестровско-Бугскому) мегаблоку [Комплексна ..., 2003; Тектонічна ..., 2007]. Однако при этом смешиваются два разновозрастных процесса формирования блочной мозаики щита: в неоархее действительно фундамент этой шовной зоны входил в Днестровско-Бугский гранулитовый пояс (ДБГП), но тогда и весь щит имел другие контуры, а западная и восточная его части развивались, по-видимому, как самостоятельные структуры [Гинтов, Пашкевич, 2010].

Интересно отметить, что Игулецко-Криворожскую шовную зону, фундамент которой в значительной степени представлен породами, развитыми в соседнем Среднеприднепровском мегаблоке (Среднеприднепровский зеленокаменный пояс (СПЗП)), многие геологи относят к Ингульскому мегаблоку [Комплексна ..., 2003; Кореляційна ..., 2003; Щербак и др., 2008], хотя, логически, ее положение на востоке мегаблока ничем не отличается от положения Голованевской шовной зоны на западе.

Образование блочной структуры щита в современном виде произошло позже как результат коллизии Сарматии и Фенноскандии [Vodanova et al., 1996; 2006], формирования трансрегиональных тектонических швов Херсон — Смоленск и Донецк — Брянск и крупных гранитоидных массивов — Новоукраинского (около 2,05 млрд лет тому назад), Корсунь-Ново-миргородского, Коростенского, Восточно-Приазовского (около 1,75 млрд лет тому назад).

Тогда же активизировались подвижки (со значительной вертикальной составляющей) по глубинным зонам разломов — Сущано-Пержанская, Сарненско-Варваровской, Тетеревской, Немировской, Тальновской, Ядлово-Трактемировской, Криворожско-Кременчугской, Орехово-Павлоградской, что и привело в конечном счете к формированию современной мегаблоковой структуры, в том числе образованию Ингульского мегаблока в рассматриваемых контурах.

Геологическое строение Ингульского мегаблока в схематизированном виде показано на рис. 2 (наименования всех основных структур приведены на рис. 4). На западе и востоке мегаблока в Голованевской (ГШЗ) и Ингулецко-Криворожской (ИКШЗ) шовных зонах развиты архейские серии кристаллосланцев и гнейсов (днестровско-бутская, бутская и росинско-тикическая на западе, аульская и konkская на востоке), а также комплексы базитов и гранитоидов, частично переработанные в раннем протерозое. В центральной части широко представлены гнейсы ингуло-ингулецкой серии раннего протерозоя и более молодые раннепротерозойские гранитоиды.

Центральная часть Ингульского мегаблока представлена меридиональной цепью гранитоидных массивов (Корсунь-Ново-миргородским и Новоукраинским), расположенных на оси тектонического шва Херсон — Смоленск и ограниченных Звенигородско-Братской и Кировоградской зонами разломов. Она также называется Кировоградским рудным районом и представляет особый интерес как в геодинамическом, так и металлогеническом отношении, о чем будет сказано ниже более подробно. Здесь отметим, что широкое развитие в ней гнейсов ингуло-ингулецкой серии объясняется многими геологами возникновением в начале раннего протерозоя в центральной части щита обширного осадочного бассейна, заполнившегося терригенно-вулканогенными отложениями, превращенными в результате регионального метаморфизма в гнейсы и кристаллосланцы биотитового, гранат-биотитового, графит-биотитового, амфибол- и пироксенбиотитового и других составов.

Однако, если учесть ширину образовавшихся в конце раннего протерозоя (2,05—1,75 млрд лет тому назад) в этом регионе гранитоидных массивов и зафиксированное тектонофизическими исследованиями двукратное мощное широтное растяжение литосферы (см. далее), необходимо признать, что площадь развития гней-

сов ингуло-ингулецкой серии служится до узкого трога, либо вообще (что представляется нам более вероятным) последние являются продуктом переработки пород соседних архейских комплексов под воздействием процессов стресс-метаморфизма и метасоматоза в тектоническом шве Херсон — Смоленск, Звенигородско-Братской, Кировоградской и Западно-Ингулецкой зонах разломов.

Геологическое и геодинамическое развитие Ингульского мегаблока проходило в несколько этапов, причинно-следственные связи между которыми прослеживаются весьма слабо. Гетерогенный фундамент мегаблока представлен разновозрастными и петрологически разнотипными комплексами. В краевых шовных зонах — ГШЗ на западе и ИКШЗ на востоке — развиты архейские и, частично, раннепротерозойские комплексы. Однако, если в первой преобладают гиперстенсодержащие кристаллосланцы гранулитовой фации и породы чарнокит-эндербитового ряда, то во второй — породы амфиболит-гранитового и зеленокаменного структурно-формационных комплексов, т. е. объединяет их только возраст. Центральная часть мегаблока начала формироваться только в раннем протерозое, сложена биотитовыми разновидностями гнейсов амфиболитовой фации и гранитоидами нормального ряда. Усредненный состав и петрофизические свойства коры центральной части мегаблока существенно отличаются от свойств его краевых частей.

Геофизические особенности Ингульского мегаблока достаточно ярко выделяют его на фоне остальной территории УЩ. Поле аномалий Буге [Створення ..., 2006] в его краевых частях, над шовными зонами, характеризуется крупными максимумами до 40 мГал на востоке и до 70 мГал на западе, при этом гравитационный максимум над ГШЗ — самый крупный в пределах УЩ. В то же время центральной части мегаблока соответствует самый крупный на УЩ гравитационный минимум (до -30 мГал), свидетельствующий о более кислом (в среднем) составе коры этой части по сравнению с примыкающими территориями. Это подтверждается построением 3D плотностной модели мегаблока [Куприенко и др., 2007]: в центральной его части мощность "гранитного" слоя достигает 17 км, тогда как в шовных зонах она составляет 0—10 км. В центральной части также сильно утонен или полностью отсутствует "гранодиоритовый" слой.

По данным ГСЗ [Соллогуб, 1986] земная кора в центральной части мегаблока аномально тонкая (35—40 км). В краевых шовных зонах ее мощность достигает 50 км (в ИКШЗ) и 65 км (в ГШЗ) за счет увеличения мощности "базальтового" слоя и наличия коромантийной смеси [Куприенко и др., 2007].

Региональные особенности поля  $\Delta T_a$  также отражают более лейкократовый средний состав земной коры центральной части Ингульского мегаблока в сравнении с краевыми шовными зонами: если аномалии  $\Delta T_{a\text{per}}$  в пределах ГШЗ и ИКШЗ достигают + (300—400) нТл, то в центральной части — (200—300) нТл [Орлюк, 1999; 2000]. Соответственно средняя намагниченность коры центральной части практически нулевая, а в краевых зонах 3—4 А/м.

По региональным геотермическим особенностям [Кутас и др., 1981] центральная часть мегаблока отличается несколько повышенным средним тепловым потоком (42—50 мВт / м<sup>2</sup>) на фоне соседних участков (35—40 мВт / м<sup>2</sup>), при этом на глубине 30 км температура коры в ней выше приблизительно на 100°. Детальные геотермические исследования [Гордиенко и др., 2002] показали, что в пределах Кировоградской зоны разломов наблюдается так называемая Кировоградская аномалия теплового потока, превышающая среднее значение приблизительно на 20 мВт / м<sup>2</sup>. Это, наряду с другими факторами, дало основание указанным авторам сделать вывод о существовании в центральной и восточной частях Ингульского мегаблока зоны современной активизации и наличии частично расплавленных горных пород на границе коры и мантии.

В центральной части Ингульского мегаблока наблюдается и повышенная электропроводность коры, особенно на глубине 20—30 км (Кировоградская аномалия электропроводности), где удельное электрическое сопротивление составляет всего 1—5 Ом · м на фоне среднего для УЩ значения около 1000 Ом · м [Бурахович, Кулик, 2007].

Приведенные геологические и геофизические данные показывают, что Ингульский мегаблок, охватывающий всю центральную часть УЩ, неоднороден по составу и петрофизическими свойствам коры и представлен по меньшей мере тремя разновозрастными зонами, отличающимися по своим структурно-тектоническим особенностям.

Что же, кроме уже упоминавшихся вертикальных движений по Тальновской и Криво-

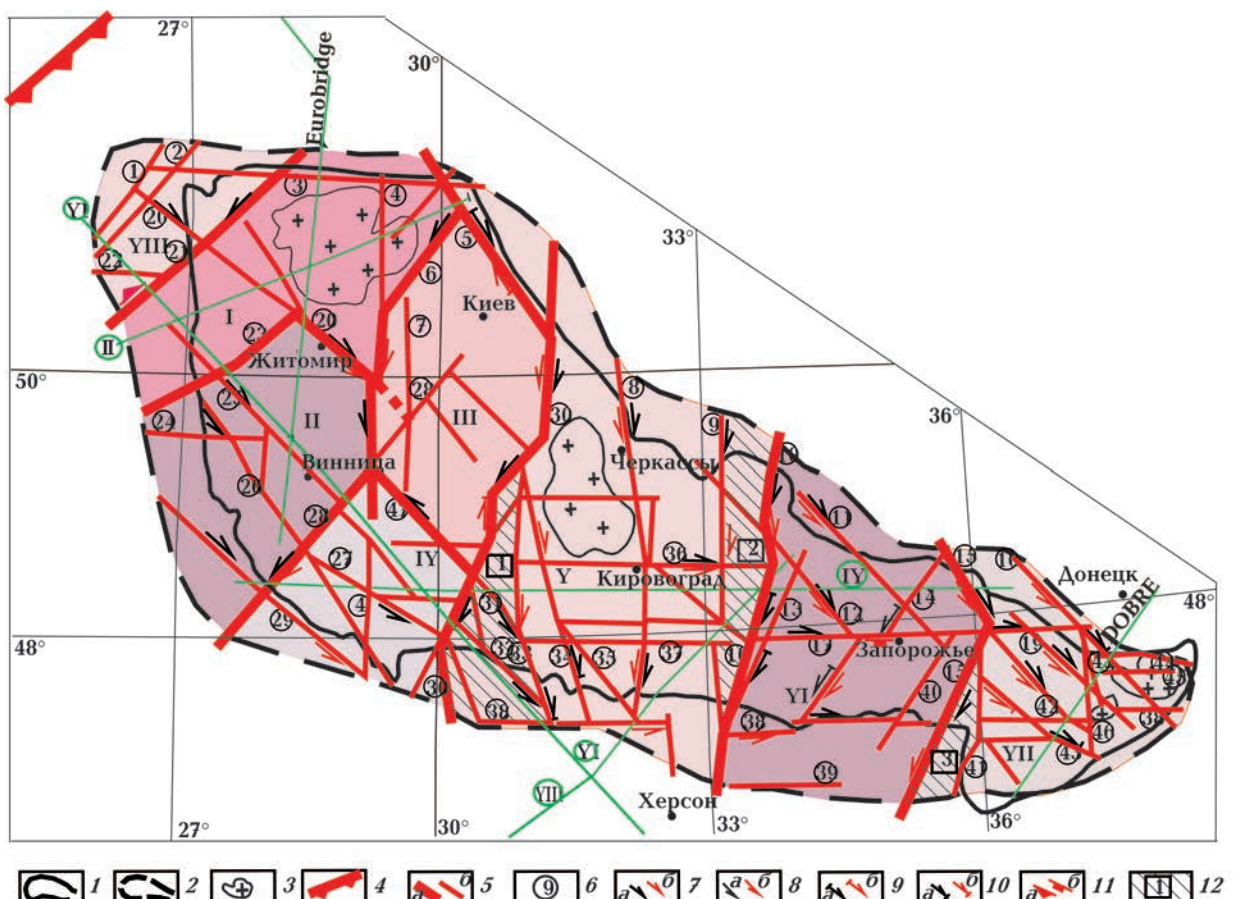


Рис. 1. Схема основных зон разломов УЩ и его склонов [Гинтов, 2005; Гинтов, Пашкевич, 2010]: 1 — контур обнаженной части щита; 2 — контур склонов щита, в пределах которых прослеживаются складчатые и разрывные структуры докембрийского фундамента по геофизическим данным; 3 — plutоны и крупные интрузивные массивы гранитоидов; 4 — граница между Сарматией и Фенноскандией; 5 — зоны разломов межмегаблоковые (*a*) и внутримегаблоковые (*b*); 6 — зоны разломов (1 — Горынская, 2 — Луцкая, 3 — Полесская, 4 — Звидаль-Залесская, 5 — Ядов-Трактемировская, 6 — Чернобыльская, 7 — Брусиловская, 8 — Кировоградская, 9 — Западно-Ингулецкая, 10 — Криворожско-Кременчугская, 11 — Днепродзержинская, 12 — Светловодская, 13 — Саксаганская, 14 — Дерезоватская, 15 — Орехово-Павлоградская, 16 — Центрально-Волновахская, 17 — Девладовская, 18 — Малоянисольская, 19 — Краснополянская, 20 — Сарненско-Варваровская, 21 — Сущано-Пержанская, 22 — Владимир-Волынская, 23 — Тетеревская, 24 — Хмельницкая, 25 — Хмельникская, 26 — Летичевская, 27 — Ободовская, 28 — Немировская, 29 — Подольская, 30 — Тальновская, 31 — Емиловская, 32 — Врадиевская, 33 — Первомайская, 34 — Звенигородско-Братская, 35 — Новоукраинская, 36 — Субботско-Мощоринская, 37 — Бобринецкая, 38 — Конская, 39 — Горностаевская, 40 — Малоекатериновская, 41 — Азовско-Павловская, 42 — Куйбышевская, 43 — Сорокинская, 44 — Южно-Донбасская, 45 — Верхнекамышевахская, 46 — Центрально-Приазовская, 47 — Ташевская); 7—11 — кинематические знаки (7 — правый сдвиг, 8 — левый сдвиг, 9 — взбросо-сдвиг, 10 — сбросо-сдвиг, *a* — во время заложения, *b* — во время главной фазы активизации; 11 — взброс (*a*) и сброс (*b*)); 12 — шовные зоны (1 — Голованевская, 2 — Ингулецко-Криворожская, 3 — Орехово-Павлоградская). Мегаблоки: I — Волынский; II — Подольский; III — Росьинский; IV — Бугский; V — Ингульский; VI — Среднеприднепровский; VII — Приазовский; VIII — Волыно-Полесский вулкано-плутонический пояс.

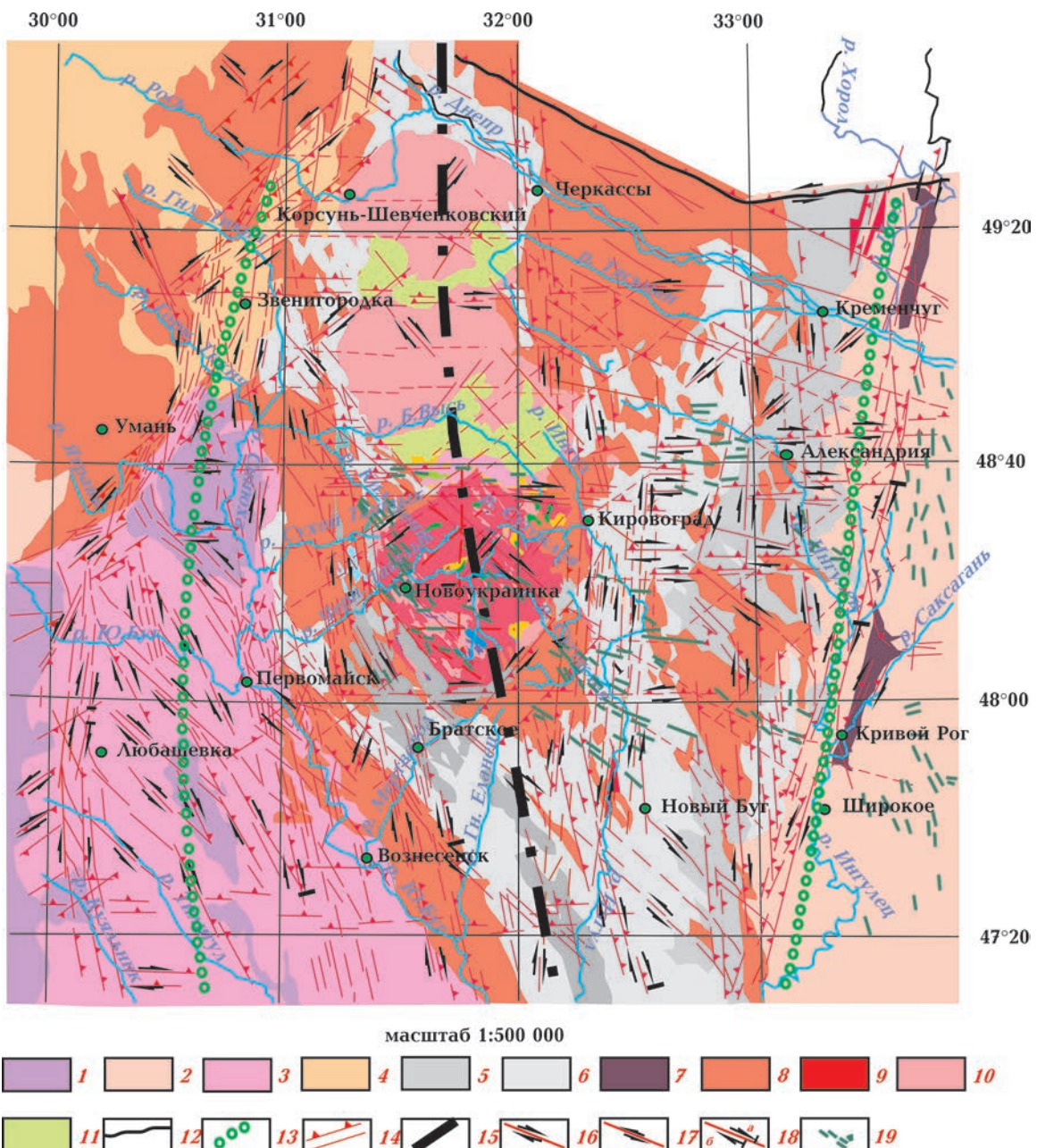


Рис. 2. Схема геологического строения Ингульского мегаблока, составленная О. Б. Гинтовым и С. В. Мычаком по данным [Комплексна ..., 2003; Кореляційна ..., 2003; Щербаков, 2005; Гинтов, 2005; Тектонічна ..., 2007; Старостенко и др., 2007 а, б; Геолого-прогнозні ..., 2006; Гинтов, Мычак, 2011] и на основе полевых тектонофизических исследований авторов: 1—9 — серии и комплексы (1 — днестровско-бугская, гайворонский ( $AR_1$ ); 2 — аульская, конкская, днепропетровский ( $AR_1$ ), ингулецкий, саксаганский, демуринский, токовский ( $AR_2$ ); 3 — бугская, капитановско-деренюхинский ( $AR_3$ ), побужский ( $PR_1-I$ ); 4 — росинско-тикическая ( $AR_3$ ), звенигородский, гайсинский ( $PR_1-I$ ); ингуло-ингулецкая ( $PR_1-I$ ); 5 — родионовская, спасовская свиты, 6 — рощаховская, чечелевская свиты; 7 — криворожская ( $PR_1-I$ ); 8 — кировоградский, уманский, ставищанский ( $PR_1-I$ ); 9 — новоукраинский ( $PR_1-I$ ); корсунь-новомиргородский ( $PR_1-II$ ) (10 — рапакивицкие граниты, 11 — габбро-анортозиты); 12 — контур обнаженной части щита; 13 — осевые линии ГШЗ (на западе) и ИКШЗ (на востоке); 14 — эшелонированные сколы (сместители) зон разломов (берг-штрихи указывают направление падения); 15 — трансрегиональный тектонический шов Херсон — Смоленск; кинематические знаки для зон разломов: 16 — правый сдвиг; 17 — левый сдвиг; 18 — сбросо-сдвиг (a), взбросо-сдвиг (b); 19 — дайки габбро-диабазов, лампрофиров и др.).

рожско-Кременчугской зонам разломов, позволяет и даже делает необходимым выделение Ингульского мегаблока именно в такой конфигурации и в таких границах? Основанием служат особенности геодинамического развития и металлогении центральной части УЩ.

Если рассматривать главные черты структуры УЩ на фоне всей юго-западной части Восточно-Европейской платформы (ВЕП), можно увидеть (рис. 3), что центральная часть щита выделяется как элемент широкой (до 200 км) субмеридиональной зоны правых сдвигов, продолжающейся далеко за пределы щита как в южном, так и в северном направлениях. Из 47 крупнейших зон разломов щита [Гинтов, 2005; Гинтов, Пашкевич, 2010] шесть главных зон его центральной части — Тальновская, Первомайская, Звенигородско-Братская, Кировоградская, Западно-Ингулецкая, Криворожско-Кременчугская — заложены как крупные правые сдвиги, отклоняющиеся от современного меридионального направления от  $-15^{\circ}$  до  $+25^{\circ}$ . На севере и юге за пределами щита они сближаются, как бы "подтягиваясь" к осевой линии трансрегионального тектонического шва Херсон — Смоленск, четко делящей щит на западную и восточную части. Поскольку этот тектонический шов возник в конце времени заложения большинства перечисленных зон разломов [Гинтов, Мычак, 2011], приходим к выводу, что активные геодинамические процессы на стыке западной и восточной архейских частей УЩ начались еще на рубеже неоархея и раннего протерозоя, охватив все 200 км пространства — будущий Ингульский мегаблок.

Металлогенные особенности также позволяют выделять Ингульский мегаблок в рассматриваемых контурах. Голованевская шовная зона ближе по своей металлогенической специализации к центральной и восточной частям мегаблока, чем к западным гранулитовым Бугскому и Подольскому мегаблокам. Это относится в первую очередь к ее железорудной, золоторудной и редкометально-редкоземельной специализациям: здесь известны месторождения (Майское) и рудопроявления золота в пределах Тальновской зоны разломов (Савранское рудное поле), проявления железистых кварцитов и железисто-карбонатных руд (Мoldовское, Грушковское, Секретарское и др.); в Первомайской и Звенигородско-Братской зонах разломов открыты месторождения и рудопроявления урана, редких металлов и редких земель. Аналогичной металлоге-

нией характеризуются Западно-Ингулецко-Казанковская и Криворожско-Кременчугская металлогенические зоны восточной части мегаблока [Комплексна ..., 2003]. Все это свидетельствует о том, что архейское основание ГШЗ претерпело в раннем протерозое такую же сильную активизацию, как и архейский фундамент ИКШЗ. А стимулятором активизации и переработки послужили тектономагматические и сдвиговые процессы в зонах разломов центральной части мегаблока и трансрегиональном тектоническом шве Херсон — Смоленск.

**Зоны разломов и этапы деформации (разломообразования) Ингульского мегаблока.** На рис. 4 представлена структурно-кинематическая карта Ингульского мегаблока, построенная по материалам тектонофизических исследований 1985—2010 гг. [Гинтов, Исаи, 1988; Гинтов и др., 1990; Беличенко, Гинтов, 1996; Гинтов, 2005; Гинтов и др., 2008; Гинтов, Пашкевич, 2010; Mychak, Farfuliak, 2010; Гинтов, Мычак, 2011]. В результате этих работ изучено внутреннее строение и кинематика практически всех разрывных структур мегаблока на площади около 67 000 км<sup>2</sup>. Детальность тектонофизической информации соответствует масштабам 1 : 200 000—1 : 500 000. Дополнительные данные получены с использованием Геологической карты центральной части УЩ, составленной в ПГО Кировгеология [Геолого-прогноз ... ..., 2006].

Зоны разломов, состоящие из зон скальвания, эшелонированных и элементарных сколов, изображены на карте такими, какими они закартированы на местности полевыми тектонофизическими методами и детальными магнитными и гравиметрическими съемками. Это не условные линии, обычно соответствующие на геологических картах осевым линиям участков развития тектонитов и называемые "разломами", а фактически наблюденные сложно построенные и достаточно широкие зоны, в которых динамометаморфически измененные и сильно деформированные линейновытянутые полосы горных пород тектонобластической или тектонокластической структуры и гнейсовидной или динамофлюидальной текстуры перемежаются со слабо деформированными участками и приразломной складчатостью. Термин "зона разломов" применяется к таким структурам традиционно, поскольку они являются зонами сдвига (в широком смысле) соседних блоков земной коры относительно друг друга (наиболее употребляемый сейчас анг-

лоязычный термин — "shear zone") и слагающие их горные породы в зонах скальвания прошли процесс преобразования в результате действия механических сил и метасоматических изменений. Множественное число в термине (по устному предложению В.П. Кирилюка) отражает тот факт, что сдвиги происходили не по одному сместителю, а по нескольким зонам скальвания и многочисленным сколам, разделенным участками недеформированных пород.

Методика выделения и картирования разрывных структур, определения их возраста, кинематических характеристик (направлений смещения), этапов заложения и фаз активизации подробно изложена в [Гинтов, Исаи, 1988; Гинтов, 2005]. Поэтому в данной статье отображены лишь конечные результаты исследований без детализации способов их получения. Здесь лишь отметим, что в основу определения последовательности тектонических преобразований земной коры УЩ положена последовательность изменения ее напряженно-деформированного состояния, обусловленная сменой региональных полей напряжений. С региональными полями тектонических напряжений — ориентацией их главных осей — связаны направления перемещений и ориентация в пространстве большинства тектонических структур, начиная от структурно-текстурных элементов горных пород, структур подворота, складок волочения и заканчивая зонами скальвания.

Классификация сдвиговых зон УЩ с тектонофизических позиций показала [Гинтов, 2005], что структурами первого порядка, формирующимися при смене тектонических полей напряжений в течение одной фазы деформации, являются зоны скальвания (элементарные разломы) [Стоянов, 1977], представленные эшелонированными и элементарными сколами — структурами второго порядка.

Большинство зон разломов в таком случае — это надпорядковые структуры, формирующиеся длительное время и в разных полях напряжений (исключение составляют зоны разломов, представленные одной зоной скальвания). Они отражают деление литосферы на крупные блоки и мегаблоки, происходившее в течение нескольких периодов и связанное с наличием ослабленных зон в мантии щита, которые установлены, в частности, по данным сейсмометромографии [Шумлянская, 2008].

Напомним [Гинтов, 2005], что этапом разломообразования назван момент одновремен-

ного (для докембрая с точностью до периода) заложения системы зон разломов с близкими элементами залегания (азимут простирания, угол и азимут падения) составляющих их зон скальвания, т. е. возникшей в едином поле тектонических напряжений и оказавшей существенное влияние на развитие земной коры региона.

Название этапа обычно дается по названию первой наиболее хорошо изученной крупной зоны разломов. Поскольку практически все крупные зоны являются долгоживущими и претерпевали частые активизации с формированием внутри себя или на своем продолжении зон скальвания, ориентированных по-разному (в связи со сменой тектонических полей напряжений), подобные активизации названы фазами деформации (разломообразования) данного этапа. Зоны скальвания, отражающие конкретную фазу деформации, могут формировать не только в одной зоне разломов, но и на удалении друг от друга, в разных зонах разломов или вне их.

Этап разломообразования при этом соответствует первой фазе деформации земной коры в данной зоне разломов, последовавшей за предыдущим уже известным этапом. Иными словами, изучаемая зона разломов могла начать свое становление на площади развития более древних тектонитов, образующих свои зоны скальвания, но ее собственные зоны скальвания возникли в первом новом поле напряжений. В дальнейшем тектонические поля напряжений могли изменяться, в зоне разломов возникали новые зоны скальвания другой ориентировки в пространстве. Они принадлежали той же зоне разломов, но могли отражать другие, более молодые, этапы разломообразования, будучи собственными для других зон разломов.

При взгляде на карту (см. рис. 4) создается впечатление, что из-за чрезвычайно густой разновозрастной сети разрывных сдвиговых зон в пределах мегаблока не остается площадей развития "нормальных", недеформированных геологических образований. С одной стороны, это действительно так: Ингульский мегаблок УЩ, как уже говорилось, является небольшой частью вытягивающейся более чем на 1000 км субмеридиональной сдвиговой зоны, сосредоточенной вокруг трансрегионального шва Херсон — Смоленск, которая оказалась огромное деформационное воздействие на весь сарматский сегмент Восточно-Европейского кратона. На щите, пожалуй, нет более

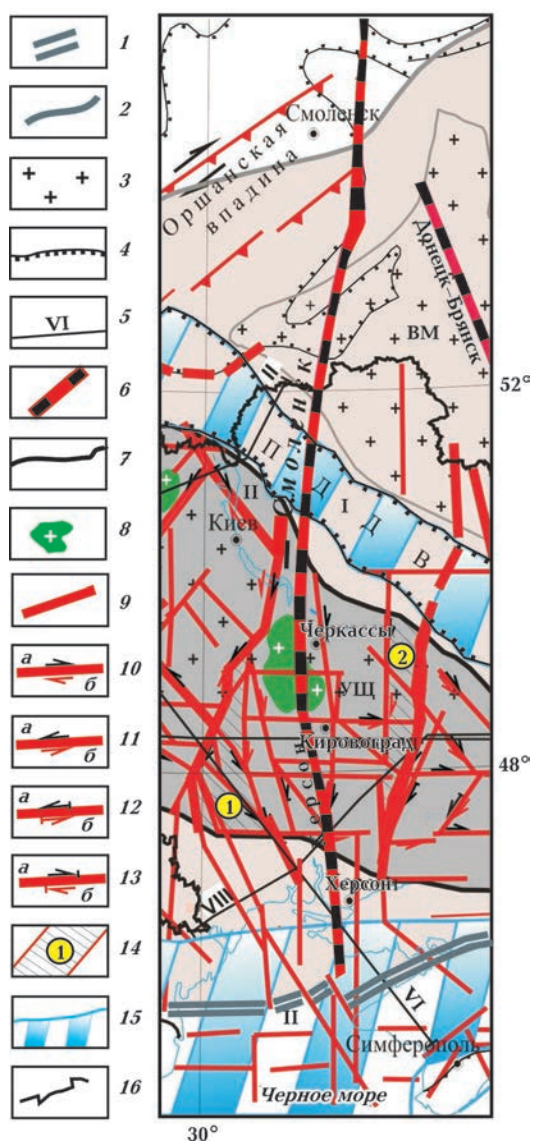


Рис. 3. Положение Ингульского мегаблока в пределах субмеридиональной мегаструктуры, секущей Восточно-Европейский кратон (фрагмент схемы основных рудо- и нефтегазоносных регионов Украины, по [Гинтов, Пашкевич, 2010]): 1 — граница ВЕП; 2 — граница между надструктурными элементами ВЕП Фенноскандией и Сарматией, по [Bogdanova, 1993]; 3 — УЩ и Воронежский кристаллический массив (ВМ); 4 — платформенные наложенные авлакогены и впадины; 5 — геотрансекты II, VI и VIII; 6 — трансрегиональные тектонические швы Херсон — Смоленск и Донецк — Брянск; 7 — контур УЩ со склонами; 8 — plutоны габбро-анортозитов и рапакивицидных гранитов; 9 — зоны разломов (см. рис. 1); 10—13 — кинематические знаки (а — во время заложения, б — во время главной фазы активизации): 10 — правый сдвиг, 11 — левый сдвиг, 12 — взбросо-сдвиг, 13 — сбросо-сдвиг; 14 — шовные зоны (1 — Голованевская, 2 — Ингулецко-Криворожская); 15 — нефтегазоносные провинции Украины (I — Днепровско-Донецкая, II — Азовско-Черноморская); 16 — государственная граница Украины.

деформированных участков земной коры, чем данный мегаблок. С другой стороны, зоны разломов мегаблока в определенной мере "прозрачны", так как в них и между ними развиты многочисленные небольшие участки недеформированных или слабо деформированных породных комплексов, по которым восстанавливается первичный состав и возраст горных пород.

Тектонофизическое изучение мегаблока началось более 25 лет назад с ГШЗ, продолжалось в пределах ИКШЗ, а работы последних лет выполнялись в его центральной части. Это наложило свой отпечаток на первоначальные выводы о последовательности и возрасте деформационных процессов, которые в каждом районе рассматривались, не полностью учитывая результаты исследований на других участках. Теперь, когда изучена вся площадь, можно все данные увязать между собой и составить единую схему последовательности процессов разломообразования, объединив некоторые одновозрастные и одинаково ориентированные зоны скальвания в один этап или, наоборот, отнеся одинаково ориентированные, но разновозрастные зоны к разным этапам. В основу целесообразно положить данные о кинематических параметрах зон разломов УЩ и периодизации процессов разломообразования, обобщенные в монографии [Гинтов, 2005, табл. 3.15 и 3.16] и дополненные результатами последующих работ.

**Емиловский этап разломообразования (AR<sub>3</sub>).** Архейские дизъюнктивные деформации земной коры Ингульского мегаблока установлены только в Голованевской шовной зоне. Емиловская и Врадиевская сдвиговые зоны (СЗ 310°) и еще ряд аналогичных зон, расположенных южнее, но скрытых под мезо-кайнозойским чехлом, были заложены в неоархее в то время, когда эта часть мегаблока была еще единым целым с ДБГП. К западу от ГШЗ такими же архейскими зонами северо-западного простириания являются Летичевская и Ободовская зоны Подольского и Бугского мегаблоков.

**Долгопристаньский этап разломообразования (AR<sub>3</sub>),** как и емиловский, установлен в ГШЗ и представлен сдвиговой Долгопристаньской зоной разломов и рядом зон скальвания (СЗ 332°). На обоих этих этапах была сформирована разрывная и складчатая (путем образования приразломной складчатости) структура восточной части ДБГП, преобразованной позже в ГШЗ.

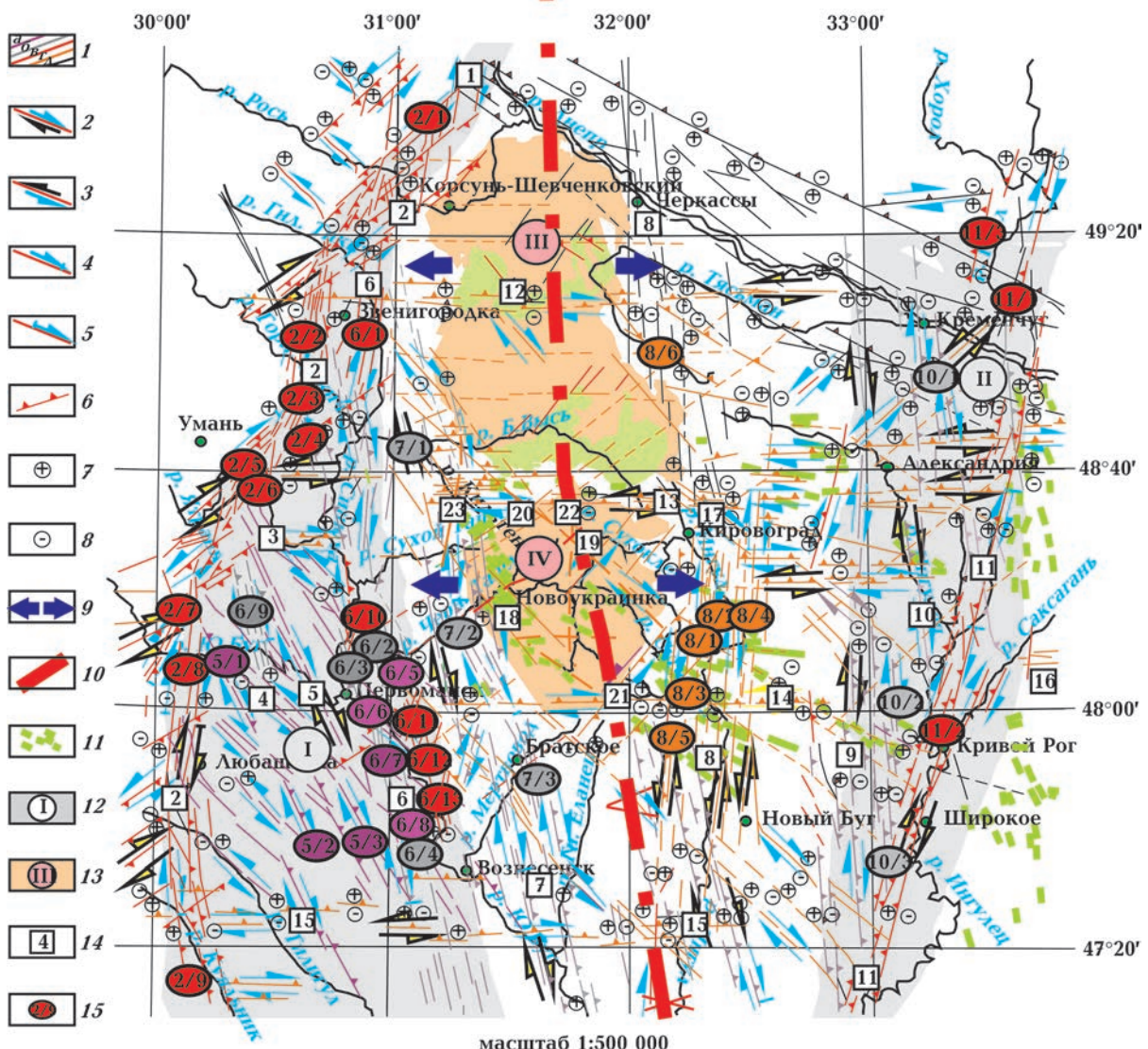


Рис. 4. Структурно-тектонофизическая карта Ингульского мегаблока, составленная О. Б. Гинтовым и С. В. Мычаком: 1 — эшелонированные и элементарные сколы зон разломов, образовавшиеся в: а — неоархее ( $AR_3$ ), б — неоархее — раннем протерозое ( $AR_3$ — $PR_1$ -I), в — начале раннего протерозоя ( $PR_1$ -I), г — конце раннего протерозоя ( $PR_1$ -II), д — возраст не известен; 2—5 — кинематические знаки (синие — во время заложения, желтые — во время главной фазы активизации): 2 — правый сдвиг, 3 — левый сдвиг, 4 — сбросо-сдвиг, 5 — взбросо-сдвиг; 6 — направление падения; 7 — приподнятое крыло; 8 — опущенное крыло; 9 — направление раздвига центральной части Ингульского мегаблока; 10 — межрегиональный тектонический шов Херсон — Смоленск; 11 — дайки диабазов, габбро-диабазов и др.; 12 — шовные зоны (I — Голованевская, II — Ингулецко-Криворожская); 13 — массивы гранитоидов (III — Корсунь-Новомиргородский pluton, IV — Новоукраинский массив); 14 — зоны разломов (1 — Ялов-Трактемировская; 2 — Тальновская; 3 — Емиловская; 4 — Врадиевская; 5 — Долгопристаньская; 6 — Первомайская; 7 — Звенигородско-Братская; 8 — Кировоградская; 9 — Западно-Ингулецкая; 10 — Искровская; 11 — Криворожско-Кременчугская; 12 — Смелянская; 13 — Субботско-Мошуринская; 14 — Бобринецкая; 15 — Конская; 16 — Девладовская; 17 — Лелековская; 18 — Новоукраинская; 19 — Неру-баевско-Лозоватская; 20 — Глодосская; 21 — Марьевская; 22 — Новоконстантиновская; 23 — Новопавловско-Ярошевская (южная часть)); 15 — зоны скалывания (2/1 — Богуславская, 2/2 — Веселокутская, 2/3 — Тальянковская, 2/4 — Мошуровская, 2/5 — Заячковская, 2/6 — Коржовская, 2/7 — Синицова-ская, 2/8 — Саботиновская, 2/9 — Ширяевская, 5/1 — Дубиновская, 5/2 — Иосифовская, 5/3 — Ма-риновская, 6/1 — Гнилотикичская, 6/2 — Ольшанская, 6/3 — Синюхи-нобродская, 6/4 — Константиновская, 6/5 — Благодатненская, 6/6 — Грушевская, 6/7 — Марьевская, 6/8 — Александровская, 6/9 — Модловская, 6/10 — Калмазовская, 6/11 — Мигийская, 6/12 — Ивановская, 6/13 — Прибужская, 7/1 — Надакская-1, 7/2 — Песчанобродская, 7/3 — Братская, 8/1 — Центрально-Кировоградская, 8/2 — Клинцовско-Верхнеингульская, 8/3 — Алексеевская, 8/4 — Инженерово-ско-Степановская, 8/5 — Бобринецко-Жевановская, 8/6 — Ивангородская, 10/1 — Онуфриевская, 10/2 — Чкаловская, 10/3 — Николаевская, 11/1 — Комсомольская, 11/2 — Криворожская, 11/3 — Омельникская).

**Первомайский, западно-ингулецкий и искровский этапы разломообразования ( $AR_3$ — $PR_1$ -I<sup>1</sup>).** В архей-раннепротерозойское время на месте Ингульского мегаблока были заложены *Первомайская* и *Звенигородско-Братская* зоны разломов северо-северо-западного простирания ( $CZ$   $345^\circ$ ), ограничившие ДБГП с востока. *Западно-Ингулецкая* зона разломов субмеридионального простирания ( $CCZ$   $357^\circ$ ) отделила СПЗП с запада. Вблизи нее тогда же была заложена *Искровская* зона разломов и зоны скальвания субмеридионального простирания (искровский этап,  $CCZ$   $354^\circ$ ). Вопрос о том, что на этих этапах находилось между ДБГП и СПЗП, будет рассмотрен позже.

В работе [Гинтов, 2005] к архей-раннепротерозойскому этапу разломообразования было отнесено также заложение *Новоукраинской* зоны разломов. Однако после изучения центральной части мегаблока стало ясно, что эта зона стоит в одном ряду с *Лелековской*, *Нерубаевско-Лозоватской* и другими зонами разломов северо-западного простирания и заложена в протерозое ( $PR_1$ -II).

**Тальновский и криворожский этапы разломообразования ( $PR_1$ -I).** В начале раннего протерозоя были заложены *Тальновская* ( $CCB$   $345$ — $42^\circ$ ) и *Криворожско-Кременчугская* ( $CCB$   $17^\circ$ ) зоны разломов, по которым впоследствии центральная часть УЩ в результате вертикальных перемещений обособилась в Ингульский мегаблок. Заложение этих зон положило начало обособлению ГШЗ и ИКШЗ.

**Херсон-Смоленский этап деформации ( $PR_1$ -I).** В конце первой половины раннего протерозоя литосфера Ингульского мегаблока испытала мощное широтное растяжение с правосдвиговой составляющей, приведшее к началу формирования в его центральной части субмеридиональной транстенсийной зоны, которая впоследствии развилаась в межрегиональный шов *Херсон — Смоленск*. Этот этап был выделен по результатам тектонофизичес-

кого изучения Новоукраинского массива трахитоидных гранитов, образовавшегося 2,05 млрд лет назад [Щербаков, 2005] вследствие рассматриваемого растяжения литосферы [Гинтов, Мычак, 2011].

**Кировоградский этап разломообразования ( $PR_1$ -II).** Кировоградская зона разломов (основное простирание  $CCB$   $4^\circ$ ) — одна из наиболее широких (до 20 км) зон Ингульского мегаблока. Она деформирует новоукраинские и кировоградские граниты, возраст которых 2,05—2,0 млрд лет, а возраст образованных в ней кварц-полевошпатовых метасоматитов, золотого (2,0—1,95 млрд лет) и уранового (~1,8 млрд лет) оруденения [Белевцев, 2002], явно связанных с процессами разломообразования, свидетельствует о том, что время заложения зоны — около 1,95 млрд лет. К кировоградскому этапу необходимо также отнести *Новоконстантиновскую* зону разломов и южное продолжение *Новопавловско-Ярошевской* зоны, закартированные геологами ПГО "Кировгеология". С этими зонами также связано урановое оруденение.

**Лелековский этап ( $PR_1$ -II)** ранее [Гинтов, Мычак, 2011] был отнесен к одной из фаз кировоградского этапа разломообразования, так как Лелековская зона разломов (именовавшаяся зоной скальвания) была лучше всего изучена в районе г. Кировоград, где она сочленяется с тектонитами Кировоградской зоны. Однако при составлении структурно-кинематической карты (см. рис. 4) стало ясно, что в поле напряжений, при котором формировалась Лелековская зона разломов ( $CZ$   $318^\circ$ ), образовалась целая сеть крупных сопряженных между собой диагональных разрывов, играющих важную роль при окончательном формировании внутренней структуры и внешних ограничений Новоукраинского массива. Это — *Нерубаевско-Лозоватская* и *Новоукраинская* ( $CZ$   $315^\circ$ ), *Марьевская* и *Глодосская* ( $CB$   $40$ — $50^\circ$ ) и другие зоны разломов. Они моложе Кировоградской зоны (пересекают ее), но древнее пород Корсунь-Новомиргородского plutона, поэтому возраст Лелековского этапа 1,8—1,9 млрд лет.

**Субботско-Мошоринский этап разломообразования ( $PR_1$ -II)** последовал сразу вслед за лелековским 1,8—1,75 млрд лет назад. Это последний крупный этап деформации УЩ, охвативший весь щит с примыкающими территориями и приведший к формированию в пределах щита системы крупных разломных зон. Известные зоны разломов, такие как *Полес-*

<sup>1</sup>Авторы подразделяют раннепротерозойский период на отрезки до 2 млрд и после 2 млрд лет, обозначая их  $PR_1$ -I и  $PR_1$ -II, как это делалось ранее геохронологами докембрия Украины [Кореляційна ..., 2003]. Такое деление раннего протерозоя, длившегося 1 млрд лет, наиболее удобно для описания Ингульского мегаблока, в котором рубеж  $2 \pm 0,05$  млрд лет четко отделяет геологические процессы, проходившие в ГШЗ и ИКШЗ, от таковых в центральной части.

Таблица 1. Этапы разломообразования в пределах Ингульского мегаблока УЦ

| Период                         | Обобщенные поля напряжений |            | Δефор-мацио-нний режим | Зоны скальвания и фазы разломообразования   | Номер зоны скаль-вания             | Зоны разломов, в которых расположены соответствующие зоны скальвания |
|--------------------------------|----------------------------|------------|------------------------|---|------------------------------------|--|
|                                | $\sigma_1$                 | $\sigma_3$ |                        |   |                                    |  |
| <i>Емиловский этап</i>         |                            |            |                        |   |                                    |  |
| 263/20                         | 359/10                     | t/p        |                        | Емиловская<br>Врадиевская<br>Благодатненская<br>Грушевская<br>Марьевская<br>Александровская | 3<br>4<br>6/5<br>6/6<br>6/7<br>6/8 | Емиловская<br>Врадиевская<br>Первомайская<br>—<br>—<br>—             |
| <i>Долгоруцкостанский этап</i> |                            |            |                        |   |                                    |  |
| 22/20                          | 290/10                     | t/p        |                        | Долгоруцкостаньская<br>Дубиновская<br>Иосифовская<br>Мариновская                            | 5<br>5/1<br>5/2<br>5/3             | Долгоруцкостаньская<br>ГПЗ<br>—<br>—                                 |
| <i>Первомайский этап</i>       |                            |            |                        |   |                                    |  |
| $\Delta R_3 - PR_1$            | 285/20                     | t/p        |                        | Ольшанская<br>Синюхинбродская<br>Константиновская<br>Молдавская<br>Надлакская-1             | 6/2<br>6/3<br>6/4<br>6/9<br>7/1    | Первомайская<br>—<br>—<br>ГПЗ<br>Звенигородско-Братская              |

|                                |        |     |  |  |                            |  |                              |
|--------------------------------|--------|-----|--|--|----------------------------|--|------------------------------|
|                                |        |     |  | Песчанобродская  | 7/2                        |  | —                            |
|                                |        |     |  | Братская   | 7/3                        |  | —                            |
| <i>Западно-Ингулецкий этап</i> |        |     |  |  |                            |  |                              |
| 43/10                          | 308/20 | t/p |  | Западно-Ингулецкая                                       | 9                          |  | Западно-Ингулецкая           |
| <i>Искровский этап</i>         |        |     |  |  |                            |  |                              |
| 220/10                         | 305/25 | t/p |  | Искровская<br>Онуфрьевская<br>Чкаловская<br>Николаевская | 10<br>10/1<br>10/2<br>10/3 |  | Искровская<br>ИКПЗ<br>—<br>— |
| <i>Немировский этап</i>        |        |     |  |  |                            |  |                              |
| 03/00                          | 93/00  | t/p |  | Богуславская   | 2/1                        |  | Тальновская                  |
| <i>Тальновский этап</i>        |        |     |  |  |                            |  |                              |
| 246/34                         | 127/35 |     |  | Веселокутская  | 2/2                        |  | Тальновская                  |
| 74/36                          | 328/20 |     |  | Тальянковская  | 2/3                        |  | —                            |
| 66/40                          | 312/24 |     |  | Коржовская   | 2/6                        |  | —                            |
| —                              | —      |     |  | Заячковская  | 2/5                        |  | —                            |
| 74/36                          | 328/20 | t/p |  | Синицковская   | 2/7                        |  | —                            |
| 246/34                         | 127/35 |     |  | Саботиновская  | 2/8                        |  | —                            |
| 246/34                         | 127/35 |     |  | Гнилотиничская   | 6/1                        |  | Первомайская                 |
| 66/40                          | 312/24 |     |  | Калмазовская   | 6/10                       |  | —                            |
| —                              | —      |     |  | Митийская  | 6/11                       |  | —                            |

| <i>Продолжение табл. I</i>    |       |            |  |  |  |
|-------------------------------|-------|------------|--|--|--|
| —                             | —     | Ивановская | 6/12   | —  | —  |
| —                             | —     | Прибужская | 6/13   | —  | —  |
| <i>Криворожский этап</i>      |       |            |  |  |  |
| PR <sub>1</sub> -I            | 70/30 | t/p        | Криворожская<br>Комсомольская<br>Омельникская  | 10/2<br>10/1<br>10/3                                     | Криворожско-Кременчугская<br>—<br>ИКПЗ   |
| <i>Херсон-Смоленский этап</i> |       |            |  |  |  |
|                               | 8/0   | 278/10     | t/s  | —  | —  |
| <i>Кировоградский этап</i>    |       |            |  |  |  |
| PR <sub>1</sub> -II           | 49/0  | 319/0      | Центрально-Кировоградская<br>Клиническо-Верхненитульская<br>Алексеевская<br>Инженерно-Степановская | 8/1<br>8/2<br>8/3<br>8/4                                 | Кировоградская<br>—<br>Херсон — Смоленск |
|                               | 62/05 | 162/55     | Бобринецко-Жевановская<br>Новоконстантиновская   | 8/5<br>22  | —<br>—                                   |
| <i>Лелековский этап</i>       |       |            |  |  |  |
|                               | 3/00  | 273/05     | t/p  | Лелековская<br>Новокраинская<br>Нерубаевско-Лозоватская  | 17<br>18<br>19                           |
|                               |       |            |  | Лелековская<br>Новоукраинская<br>Нерубаевско-Лозоватская | —<br>—<br>—                              |

Окончание табл. 1

|                                      |        |        |                         |                      |                         |
|--------------------------------------|--------|--------|-------------------------|----------------------|-------------------------|
| PR <sub>1-II</sub>                   | 90/00  | 360/00 | Глодосская              | 20                   | Глодосская              |
|                                      |        |        | Марьевская              | 21                   | Марьевская              |
|                                      |        |        | Компаниевская           | —                    | Кировоградская          |
| <i>Субботинско-Мошоринский этап</i>  |        |        |                         |                      |                         |
| PR <sub>1-II</sub>                   | 315/00 | 45/00  | Субботинско-Мошоринская | 13                   | Субботинско-Мошоринская |
|                                      |        |        | Смелянская              | 12                   | Смелянская              |
|                                      |        |        | Бобринецкая             | 14                   | Бобринецкая             |
|                                      |        |        | Конкская                | 15                   | Конкская                |
| <i>Корсунь-Новомиргородский этап</i> |        |        |                         |                      |                         |
| PR <sub>3</sub>                      | 6/00   | 96/00  | t/s                     | —                    | —                       |
|                                      |        | 81/00  | t/s                     | —                    | —                       |
| <i>Субплатформенный этап</i>         |        |        |                         |                      |                         |
| PR <sub>3</sub>                      | 145/00 | 235/90 | t/p                     | Калиновская          | —                       |
|                                      | 360/00 | 90/76  | t/s                     | Клинцовская-II       | —                       |
|                                      | 150/90 | 60/00  | t/p                     | Завадовская          | —                       |
|                                      | 280/70 | 05/00  | t/p                     | Калиновско-Сасовская | —                       |
|                                      | 270/17 | 48/70  | t/p                     | Покровская-I         | —                       |
|                                      | 53/70  | 260/19 | t/s                     | Покровская-II        | —                       |
|                                      | 357/50 | 177/40 | t/s                     | Клинцовская-III      | —                       |
|                                      | 300/10 | 120/80 | t/p                     | Алексеевская-1       | —                       |
|                                      |        |        |                         |                      |                         |
|                                      |        |        |                         |                      |                         |

Т а б л и ц а 2. Фазы активизации зон разломов Ингульского мегаблока УЩ

| Этап                  | Зона разломов                              | Период                              | Обобщенные поля напряжений |            | Фаза                 |
|-----------------------|--|-------------------------------------|----------------------------|------------|----------------------|
|                       |  |                                     | $\sigma_1$                 | $\sigma_3$ |                      |
| Первомайский          | Первомайская                               | PR <sub>1</sub> -I                  | 246/34                     | 127/35     | Веселокутская        |
|                       |  | PR <sub>1</sub> -I                  | 66/40                      | 312/24     | Коржовская           |
|                       | Звенигородско-Братская                     | PR <sub>1</sub> -II                 | 03/00                      | 273/05     | Лелековская          |
| Западно-Ингулецкий    | Западно-Ингулецкая                         | PR <sub>1</sub> -I                  | 70/30                      | 320/30     | Криворожская         |
|                       |  | PR <sub>1</sub> -II                 | 03/00                      | 273/05     | Лелековская          |
| Искровский            | Искровская                                 | PR <sub>1</sub> -I                  | 70/30                      | 320/30     | Криворожская         |
| Немировский           | Тальновская                                | PR <sub>1</sub> -I                  | 246/34                     | 147/35     | Веселокутская        |
| Криворожский          | Криворожско-Кременчугская                  | PR <sub>1</sub> -I                  | 70/30                      | 320/30     | Саксаганская         |
|                       |  | PR <sub>1</sub> -II—PR <sub>2</sub> | 351/00                     | 81/00      | Городищенская        |
| Херсон-Смоленский     | Трансрегиональный шов<br>Херсон — Смоленск | PR <sub>1</sub> -II—PR <sub>2</sub> | 06/00                      | 96/00      | Корсунская           |
|                       |  | PR <sub>1</sub> -II—PR <sub>2</sub> | 351/00                     | 81/00      | Городищенская        |
| Кировоградский        | Кировоградская                             | PR <sub>1</sub> -II—PR <sub>2</sub> | 06/00                      | 96/00      | Корсунская           |
|                       |  | PR <sub>2</sub> —PR <sub>3</sub>    | 47/00                      | 317/00     | Аджамская            |
| Субботско-Мошоринский | Субботско-Мошоринская                      | PR <sub>2</sub> —PR <sub>3</sub>    | 145/00                     | 55/00      | Клинцовская-1        |
|                       |  | PR <sub>1</sub> -II—PR <sub>2</sub> | 45/00                      | 315/00     | Надлакская-2         |
| Субплатформенный      | —  | PR <sub>3</sub>                     | 145/00                     | 235/90     | Калиновская          |
|                       |  | —                                   | 360/00                     | 90/76      | Клинцовская-2        |
|                       |  | —                                   | 150/90                     | 60/00      | Завадовская          |
|                       |  | —                                   | 280/70                     | 05/00      | Калиновско-сасовская |
|                       |  | —                                   | 270/17                     | 48/70      | Покровская-1         |
|                       |  | —                                   | 53/70                      | 260/19     | Покровская-2         |
|                       |  | —                                   | 357/50                     | 177/40     | Клинцовская-3        |
|                       |  | —                                   | 300/10                     | 120/80     | Алексеевская-1       |

ская, Владимир-Волынская, Хмельницкая, Звездаль-Залесская, Девладовская, Южно-Донбасская, Конская и другие, образуют ортогональную сеть, при преобладании широтной системы разрывов, четко ориентированную вдоль современных параллелей и меридианов (ВЗ 90°, СЮ 360°). Этот факт, учитывая поступательно-вращательные перемещения УЩ в среднем, верхнем протерозое и фанерозое, представляется на данный момент случайнym совпадением.

В Ингульском мегаблоке на рассматриваемом этапе сформировались Смелянская, Суб-

ботско-Мошоринская, Бобринецкая, Конская и ряд более мелких широтных зон разломов, занимающих важное место в структуре мегаблока. По наиболее детально и ранее других изученной Субботско-Мошоринской зоне весь этап разломообразования в пределах щита получил ее имя.

**Корсунь-Новомиргородский этап широтного растяжения (сменяющегося широтным сжатием) литосферы (PR<sub>1</sub>-II).** На этом этапе (1,75 млрд лет назад) произошло новое раскрытие трансрегионального шва Херсон — Смоленск, сопровождавшееся внед-

рением пород корсунь-новомиргородского комплекса, с образованием одноименного plutона и формированием при их остывании диагональной системы разрывов ( $C_3$   $310^\circ$  и  $C_8$   $40^\circ$ ) [Беличенко, Гинтов, 1996].

**Субплатформенный этап деформации земной коры Ингульского мегаблока ( $PR_2$ — $PR_3$ )** выразился в формировании достаточно густой сети сколовых трещин, не образующих зон скальвания и зон разломов, а выраженных в виде эшелонированных и элементарных сколов. Ориентация в пространстве групп таких трещин, обусловленная соответствующими полями тектонических напряжений, позволяет

выделить фазы деформации, названные по имени местности, где они лучше всего изучены (табл. 1, 2). Большинство таких фаз было установлено еще при изучении Кировоградской зоны разломов [Гинтов, 2005] и подтверждено в пределах Новоукраинского массива [Гинтов, Мычак, 2011]. Средневерхнепротерозойское время ( $\leq 1,6$  млрд лет) определено на том основании, что рассматриваемые сколовые трещины, с одной стороны, образовались после начала корсунь-новомиргородского этапа, а с другой стороны, формировались в достаточно глубинных условиях: притертость, зеркала скольжения и т. д.

## Список литературы

Белевцев А. Р. Изотопный возраст и условия локализации золотого оруденения в Кировоградском блоке Украинского щита: Автограф. дис. ... канд. геол. наук. — Киев, 2002. — 20 с.

Беличенко П. В., Гинтов О. Б. Напряженное состояние и деформации земной коры Украинского щита в период становления Корсунь-Новомиргородского plutона габбро-анортозитов и рапакиви (по тектонофизическим данным) // Геофиз. журн. — 1996. — 18, № 2. — С. 59—69.

Бурахович Т. К., Кулик С. Н. Трехмерная модель Кировоградской аномалии электропроводности // Геофиз. журн. — 2007. — 29, № 1. — С. 45—55.

Геолого-прогнозні роботи на алмази масштабу 1 : 200 000 у північно-східній частині Кіровоградського блоку УКЩ (звіт). Геологічна експедиція № 37. — КП "Кіровгеологія", 2006. — 252 с.

Гинтов О. Б. Полевая тектонофизика и ее применения при изучении деформаций земной коры Украины. — Киев: Феникс, 2005. — 572 с.

Гинтов О. Б., Исаи В. М. Тектонофизические исследования разломов консолидированной коры. — Киев: Наук. думка, 1988. — 228 с.

Гинтов О. Б., Исаи В. М., Коваленко В. Н. Тектонофизические данные о механизме формирования складок первого порядка Криворожского бассейна на примере Лихмановской структуры // Геол. журн. — 1990. — № 5. — С. 115—123.

Гинтов О. Б., Орлюк М. И., Мычак С. В., Бакар-

жева М. И., Фарфуляк Л. В. Субботско-мошоринский этап деформирования земной коры Украинского щита // Геофиз. журн. — 2008. — 30, № 6. — С. 23—38.

Гинтов О. Б., Пашкевич И. К. Тектонофизический анализ и геодинамическая интерпретация трехмерной геофизической модели Украинского щита // Геофиз. журн. — 2010. — 32, № 2. — С. 3—27.

Гинтов О. Б., Мычак С. В. Напряженные состояния и деформации земной коры центральной части Ингульского мегаблока по материалам тектонофизического изучения Новоукраинского массива // Геофиз. журн. — 2011. — 33, № 2. — С. 29—46.

Гордиенко В. В., Гордиенко И. В., Завгородняя О. В., Усенко О. В. Тепловое поле территории Украины. — Киев: Знание Украины, 2002. — 170 с.

Комплексна металогенічна карта України масштабу 1 : 500 000 та пояснювальна записка до неї / Під ред. С. В. Гошовського. — Київ, УкрДГРІ, 2003. — 336 с.

Кореляційна стратиграфічна схема докембрійських утворень Українського щита. — Київ: Ізд. УкрГГРІ, 2003.

Куприенко П. Я., Макаренко И. Б., Старостенко В. И., Легостаева О. В. Трехмерная плотностная модель земной коры и верхней мантии Ингульского мегаблока Украинского щита // Геофиз. журн. — 2007. — 29, № 2. — С. 17—41.

Кутас Р. И., Бевзюк М. И., Михайлук С. Ф. Методика и результаты определения тепловых потоков на Украинском щите и его склонах //

- Геофиз. журн. — 1981. — 3, № 1. — С. 22—29.
- Орлюк М. И. Пространственные и пространственно-временные магнитные модели разно-ранговых структур литосферы континентального типа // Геофиз. журн. — 2000. — 22, № 6. — С. 148—165.
- Орлюк М. И. Магнітна модель земної кори південного заходу Східно-Європейської платформи: Афтореф. дис. ... д-ра геол. наук. — Київ, 1999. — 32 с.
- Соллогуб В. Б. Литосфера України. — Київ: Нauk. думка, 1986. — 183 с.
- Старостенко В. И., Гинтов О. Б., Пашкевич И. К., Бурахович Т. К., Кулик С. Н., Куприенко П. Я., Кутас Р. И., Макаренко И. Б., Орлюк М. И., Цветковича Т. А. Металлогения Українського щита: закономерности размещения месторождений полезных ископаемых и их связь с глубинным строением и динамикой литосферы // Геофиз. журн. — 2007а. — 29, № 6. — С. 3—31.
- Старостенко В. И., Казанский В. И., Дрогицкая Г. М., Макивчук О. Ф., Попов Н. И., Тарасов Н. Н., Трипольский А. А., Шаров Н. В. Связь поверхностных структур Кировоградского рудного района (Украинский щит) с локальными неоднородностями коры и рельефом раздела Мохо // Геофиз. журн. — 2007б. — 29, № 1. — С. 3—21.
- Створення комплексної тривимірної геофізичної моделі літосфери в зв'язку з магматизмом, тектонікою та утворенням корисних копалин Українського щита: Наук. звіт ІГФ НАН України. — Київ, 2006. — 515 с.
- Стоянов С. С. Механизм формирования разрывных зон. — Москва: Недра, 1977. — 144 с.
- Тектонічна карта України масштабу 1 : 1 000 000 та пояснівальна записка до неї / Під ред.
- Д. С. Гурського, С. С. Круглова. — Київ: Укр-ДГРІ, 2007. — 190 с.
- Шумлянська Л. А. Мантийные блоки и зоны повышенной проницаемости Украинского щита // Геофиз. журн. — 2008. — 30, № 2. — С. 135—144.
- Щербак Н. П., Артеменко Г. В., Лесная И. М., Пономаренко А. Н., Шумлянский Л. В. Геохронология раннего докембрия Украинского щита. Протерозой. — Киев: Наук. думка. — 2008. — 240 с.
- Щербаков И. Б. Петрология Украинского щита. — Львов. Изд-во ЗУКЦ, 2005. — 364 с.
- Bogdanova S., Gorbatschev R., Grad M., Janik T., Gutserch A., Kozlovskaia E., Motusa G., Skridlaitė G., Starostenko V., Taran L. EUROBRIDGE and POLONAISE Working Groups. EUROBRIDGE: new insight into the geodynamic evolution of the East European Craton // European Lithosphere Dynamics / Eds. D.G. Gee, R.A. Stephenson. — London: Geol. Society, Memoirs, 32, 2006. — P. 599—627.
- Bogdanova S. V., Pashkevich I. K., Gorbatschev R., Orlyuk M. I. Riphean rifting and major Palaeoproterozoic crustal boundaries in the basement of the East European Craton: geology and geo-physics // Tectonophysics. — 1996. — 268. — P. 1—21.
- Mychak S., Farfuliak L. Strain state and crustal deformation in the central part of the Ingul megablock of the Ukrainian Shield according to structural data on the Novoukrainka massif and the Subbotsy-Moshoryno fault zone // Геофиз. журн. — 2010. — 32, № 4. — С. 112—115.
- Starostenko V. I., Gintov O. B., Kutas R. I., Pashkevich I. K. Geodynamics of lithosphere as one of the crucial factors of mineral deposits of Ukraine // Геофиз. журн. — 2010. — 32, № 4. — С. 162—165.